

تحلیل دینامیکی-سینوپتیکی سازوکار بارش‌های تابستانه جنوب شرق ایران

شعیب آب‌خرابات - دانشجوی دکتری آب‌وهواشناسی دانشگاه تبریز

مجید رضایی‌بنشه - دانشیار آب‌وهواشناسی دانشگاه تبریز

سعید جهان‌بخش اصل - استاد آب‌وهواشناسی دانشگاه تبریز

مصطفی کریمی* - استادیار آب‌وهواشناسی دانشکده جغرافیای دانشگاه تهران

علی‌اکبر رسولی - استاد آب‌وهواشناسی دانشگاه تبریز

پذیرش مقاله: ۱۳۹۴/۹/۱۹ تأیید نهایی: ۱۳۹۴/۱۲/۲۶

چکیده

در این پژوهش ۷۸ مورد از بارش‌های تابستانه جنوب شرق ایران انتخاب شد؛ پس از اجرای آزمون خوشبندی، چهار الگوی سینوپتیکی مرتبط با این بارش‌ها تشخیص داده شد. نتایج پژوهش بیانگر آن است که این بارش‌ها هم‌زمان با گسترش زبانه‌ای از کم‌فشار گنگ بر روی شرق ایران از سطح زمین تا تراز ۸۵۰ هم‌ب صورت می‌گیرد و در سطوح میانی و بالایی آتمسفر نواهی از موج بادهای غربی بر روی منطقه مستقر نمی‌شود. در همه الگوها سه هسته و اگرایی شار رطوبت بر روی شمال دریای عرب، غرب دریای عرب، و خلیج فارس شکل گرفت؛ شمال دریای عرب و پس از آن غرب دریای عرب منابع مهم تأمین رطوبت جنوب شرق ایران در این الگوها بودند. گردش پادساعت‌گرد هوای مرطوب مونسون در دامنه‌های هیمالیا به شکلی ضعیف فقط در دو الگو مشاهده شد، اما نقشی از آن در تأمین رطوبت این الگوها مشاهده نشد، زیرا هم‌زمان هسته‌ای قوی از همگرایی شار رطوبت بر روی مرکز و شمال پاکستان قرار می‌گیرد که جریان پادساعت‌گرد هوای مرطوب دامنه جنوبی هیمالیا و حتی بخشی از شار همگراشده رطوبت در جنوب شرق ایران را به درون خود می‌کشد. نیمرخ قائم آتمسفر منطقه نیز حاکی از همگراشدن رطوبت در سطوح زیرین آتمسفر (۷۵۰ - ۱۰۰۰ هم‌ب) و اگرآشدن رطوبت در سطوح میانی و بالایی آتمسفر منطقه است.

کلیدواژه‌ها: بارش تابستان، جنوب شرق ایران، دینامیک، سینوپتیک، کم‌فشار گنگ.

مقدمه

مونسون^۱ (موسم) واژه‌ای عربی و به معنی «فصل» است و به بادهای متصادی که در دریای عرب و شبه‌قاره هند طی فصل‌های گرم و سرد سال می‌وزند اشاره می‌کند. اصولاً بارش‌های تابستانه مونسون هند با تغییر جهت بادهای آلیزه در اقیانوس هند آغاز می‌شود. با آغاز دوره گرم سال این آلیزه‌ها از پُرفشار جنب حاره در جنوب اقیانوس هند و استرالیا به سمت استوا حرکت می‌کنند و پس از گذر از استوا بر اثر نیروی کوریولیس دچار گشت می‌شوند و به بادهای جنوب غربی

* E-mail: mostafakarimi.a@ut.ac.ir

نویسنده مسئول: ۰۲۱-۶۱۱۱۳۵۲۲

۱. monsoon

تبديل می‌شوند و وارد شبکاره هند و جنوب آسیا می‌شوند. در این هنگام، به دلیل مکان‌گزینی پُرفشار جنوب حاره جنوب آسیا در عرض‌های شمالی‌تر از نرمال جهانی خود (استقرار بر روی فلات تبت با ارتفاع نسبی ۵۰۰۰ متر)، این بادهای جنوب غربی و منطقه همگرایی بین حاره‌ای نیز می‌توانند تا دامنه‌های جنوبی هیمالیا نفوذ کنند. هالی در سال ۱۶۸۶ می‌باشد که در نتیجه تضاد حرارتی خشکی - دریا تشبيه کرد (هاهن و منیب، ۱۹۷۵: ۱۵۱۵). فلون (۱۹۶۰: ۷۵) این فرضیه را ارائه کرد که فلات تبت به صورت منبع گرمای محسوس در طول فصل تابستان عمل می‌کند و هسته‌ای گرم از هوا با چرخش آنتی‌سیکلونی در تروپوسفر بالایی ایجاد می‌کند که سازوکار اولیه برای مستقرشدن گردش آتمسفری مونسون را فراهم می‌کند. در طی ماههای ژوئن تا سپتامبر (به‌ویژه ژولای و آگوست) منطقه همگرایی استوایی (تراف مونسون)^۱ بر روی دشت‌های گنگ قرار می‌گیرد و در محدوده $N^{\circ} ۲۳-۳۰$ و $E^{\circ} ۷۵-۸۸$ گستره می‌شود (رامزومامی، ۱۹۶۲: ۲۳۷). از سویی، رانگاراجان (۱۹۶۳: ۲۴) اشاره می‌کند که پوشش برفی زمین‌های مرتفع تبت در فصل تابستان نمی‌تواند این فلات را به منزله منبعی از گرمای محسوس در تروپوسفر میانی معرفی کند. بیشتر بارش‌های شبکاره به صورت سامانه‌هایی کم‌پاشار - که در بستر تراف مونسون شکل می‌گیرند - فرومی‌ریزد و زمانی که این سامانه‌های کم‌پاشار بیشتر مناطق هند را در بر گیرند نشان‌دهنده فازهای فعال مونسون^۲ است. الگوی بارشی در زمان عدم حضور این کم‌پاشارها نشان‌دهنده فازهای وقفه مونسون^۳ است (گودبول، ۱۹۷۳: ۲۵؛ گوسومامی و همکاران، ۱: ۲۰۰۳). بیشتر این سامانه‌های کم‌پاشار در شمال خلیج بنگال شکل می‌گیرند، به سمت شمال غرب حرکت می‌کنند، و طول عمری بیش از سه روز و مساحتی حدود ۱۰۰۰ - ۲۰۰۰ کیلومتر دارند (مولی، ۱۰۷۳: ۲۷۱؛ گودبول، ۱۹۷۳: ۲۵؛ گوسومامی و همکاران، ۲: ۲۰۰۳؛ هرلی و بوس، ۲۰۱۵: ۱۰۴۹). از سویی، هنگامی که تراف مونسون به سمت کوهپایه‌های هیمالیا تغییر مکان می‌دهد سامانه‌های کم‌پاشار نمی‌توانند در شمال خلیج بنگال شکل گیرند (هاهن و منیب، ۱۹۷۵: ۱۵۱۵) و فراوانی آن‌ها با میزان قدرت تراف مونسون و بادهای تراز پایین در ارتباط است (گوسومامی و همکاران، ۱: ۲۰۰۳). به طور کلی، این اغتشاشات حاره‌ای شکل‌گرفته در خلیج بنگال و دریای عرب و شبکاره هند با نام سامانه‌های کم‌پاشار^۴ (LPSS) شناخته می‌شوند و سازمان هواسناسی هند آن‌ها را، بنا بر سرعت باد، از کم‌پاشارهای ضعیف (9 m/s) تا طوفان‌های حاره‌ای ($< 32 \text{ m/s}$) تقسیم کرده است (رقوان و راجش، ۲۰۰۳: ۶۳۶). تعداد و تداوم این کم‌پاشارها با بارش در ماههای ژولای و آگوست انطباق بیشتری با ماههای ژوئن و سپتامبر دارد؛ به طوری که در ماههای ژولای و آگوست بارش‌ها در هند مرکزی و شمال غرب متتمرکز می‌شوند. در سال‌های سیل خیز، مسیر حرکت این کم‌پاشارها بیشتر به سمت شمال غرب گسترش می‌یابد و در سال‌های خشک‌سالی محدود به مسیر هند مرکزی می‌شود (کریشنامورتی و آجایاموهان، ۲۰۰۸: ۱). بعضی از این سیستم‌ها در خشکی شکل می‌گیرند و مسیر شمال غربی را دنبال می‌کنند. تعداد اندکی از این سامانه‌ها هم در دریای عرب به وجود می‌آیند و به سوی شبکاره و نواحی اطراف آن حرکت می‌کنند. البته، همه سامانه‌های شکل‌گرفته در دریای عرب به سوی شرق حرکت نمی‌کنند؛ اگرچه در این فصل بادهای

1. monsoon trough

2. active monsoon

3. break monsoon

4. low pressure system

معمول در این منطقه غربی هستند (کریشنامورتی و آجایاموهان، ۲۰۰۸: ۲). جابه‌جایی تراف مونسون به کوهپایه‌های هیمالیا، حضور نداشتن بادهای تراز پایین شرقی در شمال هند، و افزایش بارش در کوهپایه‌های هیمالیا و کاهش بارش در بقیه کشور نیز از جمله شرایط سینوپتیکی رخداده در شبه‌قاره در زمان وقوع فازهای وقفه مونسون است (پانچواق و ویدیا، ۱۹۴: ۲۰۱۱). در پدیدهای نادر یکی از این سامانه‌های کم‌فشار شکل‌گرفته در دریای عرب، که به هاریکان نیز تبدیل شد (طوفان حاره‌ای گونو)، در ژوئن ۲۰۰۷، مسیر غیرمعمول شمال غربی را در پیش گرفت و مناطق جنوب شرقی و سواحل جنوبی ایران را درنوردید. در این میان بارش‌های تابستانه جنوب شرق ایران نیز در بستر تراف مونسون جنوب آسیا شکل می‌گیرند؛ اگرچه قدرت، تداوم، و فراوانی آن‌ها با کم‌فشارهای مونسون شبیه‌قاره مقایسه شدنی نیست.

بارش‌های تابستانه جنوب شرق ایران بخشی از بارش‌های مونسون تابستانه هند است که در زمان گسترش تراف مونسون هند به سوی غرب نواحی جنوب شرقی ایران را نیز در بر می‌گیرند؛ به طوری که در نوشه‌های علمی دو الگوی گردشی عمدۀ را سبب این بارش‌ها دانسته‌اند: در الگوی اول زبانه‌ای از کم‌فشار گنگ در سطح زمین در ایران و به ویژه در مناطق جنوب شرقی نفوذ می‌کند و در شمال غرب آن نیز یک سیستم پُرفشار مستقر و نفوذ هوای سرد شمالی به سمت کم‌فشار مونسون سبب شکل‌گیری یک جبهه شبیه‌ایستا، صعود هوا، و بارش می‌شود (تقی‌زاده، ۱۳۶۶: ۳۵؛ نجارسلیقه، ۱۳۸۰: ۱۱۴، ۱۱۹؛ علیجانی، ۱۳۷۴: ۴۴؛ نجارسلیقه، ۱۳۸۵: ۸). علیجانی (۱۳۷۴: ۴۳) راه دیگر تزریق رطوبت هوای گرم و مرطوب می‌نماید (علیجانی، ۱۳۷۴: ۴۴؛ نجارسلیقه، ۱۳۸۵: ۸). تفاوت این الگو با الگوی اول در بسته‌شدن منحنی‌های ارتفاع ژوپتانسیل کم‌فشار مونسون در جنوب شرق کشور است (نجارسلیقه، ۱۳۸۰: ۱۲۰). به طور کلی، سازوکار بارش‌های جنوب شرق ایران به سه دسته تقسیم می‌شود: ۱. سیکلون‌هایی که همراه بادهای غربی از سمت غرب به منطقه نفوذ می‌کنند؛ ۲. سیستم‌های موسوم به سامانه‌های سودانی که رطوبت را از دریاهای جنوب (خليج فارس، دریای عمان، و دریای سرخ) به منطقه وارد می‌کنند. این دو سازوکار بارش‌هایی دوره سرد سال را فراهم می‌کنند؛ ۳. زبانه‌کم‌فشار مونسون هند که در یک چرخش وسیع رطوبت اقیانوس هند را به منطقه وارد می‌کند و بارش‌های تابستانه منطقه را فراهم می‌آورد (نجارسلیقه، ۱۳۸۵: ۱). کریمی (۱۳۸۶: ۱۵۷) در پژوهشی بیان کرد که در ماههای ژوئن، ژوئیه، و اوت دو ناحیه بارشی در بخش‌های شمالی و جنوبی ایران شکل می‌گیرد که برای نواحی شمالی ایران مهم‌ترین منبع تأمین رطوبت دریای خزر است و در ناحیه جنوب و جنوب شرق دریای عرب اصلی‌ترین منبع تأمین رطوبت است. علیجانی، خسروی و اسماعیل‌نژاد (۱۳۸۹: ۱۰)، با بررسی سینوپتیکی شدیدترین بارش رخداده در جنوب شرق ایران (۶ ژانویه ۲۰۰۸)، بیان کردند که از مهم‌ترین منابع تأمین رطوبت این بارش خلیج فارس است و از دیگر عوامل ایجاد این بارش وجود ناؤه عمیق شمال غربی-جنوب شرقی، استقرار پُرفشار قوی در شمال غرب دریای خزر، و نفوذ کم‌فشار

عربستان به منطقه است. علیجانی و همکاران (۱۳۹۰: ۲۲۴) بارش‌های ماه ژوئیه ۱۹۹۴ منطقه را نیز بررسی و بیان کردند که منبع اصلی رطوبت این بارش‌ها دریای عمان است. همچنین، بیان کردند این دوره پُربارش در جنوب شرق ایران و غرب هند با تسلط گردنش مونسون قوی و نیز افزایش محسوس توابی مثبت در ترازهای زیرین جو در شمال خلیج بنگال و دریای عرب همراه بوده است. رضایی‌بنشه و همکاران (۱۳۹۲: ۴) در تحلیل منابع شار رطوبت بارش‌های سنگین شمال غرب ایران طی دوره ۱۳۴۰ - ۱۳۸۸ با استفاده ازتابع همگرایی شار رطوبت بیان کردند که دریای خزر، خلیج فارس، و دریای مدیترانه در تأمین رطوبت این بارش‌ها مؤثرند و دریاهای سیاه، مدیترانه، و سرخ به دلیل دوری از پهنهٔ مورد مطالعه در درجهٔ دوم اهمیت قرار دارد.

داده‌ها و روش‌ها

از ویژگی‌های بارش‌های تابستانه مناطق جنوبی ایران نقطه‌ای و محلی بودن این بارش‌هاست. منطقه اصلی این بارش‌ها محدوده‌ای مثلثی‌شکل در استان سیستان و بلوچستان در شرق E $58^{\circ} / ۳۰^{\circ}$ و جنوب N $۲۸^{\circ} / ۳۰^{\circ}$ (منطقهٔ شاخص)^۱ است (علیجانی و همکاران، ۱۳۹۰: ۲۰۸). ایستگاه ایرانشهر (E $۶۰^{\circ} / ۴۲^{\circ}$ و N $۲۷^{\circ} / ۱۲^{\circ}$) تقریباً در مرکز این محدوده قرار دارد و تنها ایستگاه سینوپتیک با داده‌های بلندمدت در این محدوده نیز هست. با توجه به این موارد و همچنین بنا بر ویژگی نقطه‌ای و محلی بودن بارش‌های تابستانه، در پژوهش حاضر این ایستگاه نمایندهٔ منطقه انتخاب شد. برای اجرای این تحقیق، نخست داده‌های رقومی روزانه ارتفاع ژئوپتانسیل تراز ۸۵۰ هکتوپاسکال برای روزهایی با بارش بیش از یک میلی‌متر ایستگاه سینوپتیک ایرانشهر (۷۸ روز بارشی)، از اول تیر تا آخر شهریور (۲۲ ژوئن تا ۲۲ سپتامبر) در دوره آماری ۱۹۸۲ - ۲۰۱۰، از سری داده‌های بازکاوی شده NCEP/NCAR در محدوده ۳۰° تا ۱۰۰° درجهٔ طول شرقی و ۱۰ درجهٔ جنوبی تا ۶۰ درجهٔ عرض شمالی در ۸۴۱ یاخته $2,5 \times 2,5$ درجه استخراج شد. از آنجا که عامل اصلی به وجود آورنده بارش‌های تابستانه جنوب شرق ایران کم‌شار گنگ است و این کم‌شار در لایه‌های زیرین جو شکل می‌گیرد و از طرف دیگر بنا بر آنکه تراز ۱۰۰۰ هکتوپاسکال نیز شدیداً تحت تأثیر عوامل حرارتی و توپوگرافی محلی سطح زمین قرار دارد، از داده‌های ارتفاع ژئوپتانسیل تراز ۸۵۰ هکتوپاسکال برای الگوبندی استفاده شد. سپس، برای طبقه‌بندی الگوهای نقشه‌ای با استفاده از نرم‌افزار Matlab آزمون خوشبندی بر روی داده‌های شبکه‌ای انجام شد؛ به طوری که روزهای بارشی با محاسبهٔ فواصل اقلیدسی و به روش ادغام وارد به صورت نمودار درختی گروه‌بندی شدند. سپس، بر اساس محاسبهٔ ماتریس همبستگی درون‌گروهی و تحلیل خوشبندی، روزهایی که بیشترین همبستگی درون‌گروهی را داشتند به عنوان نمایندهٔ آن خوش استخراج شدند. سرانجام، هارالگوی سینوپتیکی برای بارش‌های تابستانه جنوب شرق ایران تشخیص داده شد؛ جدول ۱ مشخصات روزهای نمایندهٔ هر یک این الگوها را نشان می‌دهد.

۱. علیجانی و همکاران، به دلیل تمرکز بارش‌های مونسون تابستانه و رخداد تقریباً هر ساله بارش در این محدوده، در بررسی بارش‌های مونسون در جنوب شرق ایران آن را منطقهٔ شاخص تعیین کردند.

جدول ۱. ویژگی آماری الگوهای سینوپتیکی

| الگوی سینوپتیکی | روز نماینده | تعداد رخداد | درصد رخداد | همیستگی درون گروهی |
|-----------------|----------------|-------------|------------|--------------------|
| ۱ | ۲۰۰۷ ۱ ژوئن | ۳۱ | ۳۹/۷ | %۷۰ |
| ۲ | ۱۹۹۸ ۶ سپتامبر | ۲۱ | ۲۶/۹ | %۷۹ |
| ۳ | ۲۰۰۵ ۲۲ ژولای | ۸ | ۱۰/۳ | %۸۰ |
| ۴ | ۱۹۸۳ ۲۷ ژولای | ۱۸ | ۲۳/۱ | %۷۴ |

در ادامه، برای بررسی شار رطوبت به درون سامانه‌های بارشی، از روش‌های دینامیکی و به صورت برنامه‌نویسی شده درون نرم‌افزار GrADS انجام شد. بدین منظور، واگرایی شار رطوبت در منطقه با استفاده از داده‌های مؤلفه بادمداری و نصف‌النهاری و همچنین داده‌های شبکه‌ای نم ویژه در ترازهای مختلف جو صورت می‌گیرد. برای به‌دست‌آوردن واگرایی شار رطوبت، تغییرات جزئی مقادیر نم ویژه (q) و مؤلفه‌های بادمداری (u) و نصف‌النهاری (v) در جهات x و y (طول و عرض جغرافیایی) به وسیله رابطه ۱- که موسوم به رابطه واگرایی افقی شار رطوبت است- محاسبه می‌شود.

$$HFD_{ij} = - \left[u_{ij} \frac{q_{i+lj} - q_{i-lj}}{x_{i+lj} - x_{i-lj}} + v_{ij} \frac{q_{ij+1} - q_{ij-1}}{y_{ij+1} - y_{ij-1}} + q_{ij} \frac{u_{i+lj} - u_{i-lj}}{x_{i+lj} - x_{i-lj}} + q_{ij} \frac{v_{ij+1} - v_{ij-1}}{y_{ij+1} - y_{ij-1}} \right] \quad \text{رابطه ۱}$$

HFD^1 واگرایی افقی شار رطوبت (علامت- برای مثبت کردن مقدار همگرا شده است)، q نم ویژه، u مؤلفه بادمداری، v مؤلفه نصف‌النهاری باد، x و y فاصله در جهات طول و عرض جغرافیایی است. مقادیر مثبت همگرایی شار رطوبت است و مقادیر منفی واگرایی شار رطوبت است (کریمی، ۱۳۸۶: ۴۲). مقادیر محاسبه شده مختص هر تراز است و فقط مقادیر مربوط به یک سطح را محاسبه می‌کند. بنابراین، برای به‌دست‌آوردن مقادیر واقعی شار رطوبت به محاسبه مجموع قائم آن نیاز است و باید مقدار آن را برای حد فاصل سطوح ارتفاع ژئوپتانسیل آتمسفر محاسبه کرد. بدین منظور، از رابطه ۲ استفاده می‌شود:

$$Q_{vi} = 1 / g \cdot \int_{p'}^{p} vq \cdot dp \quad \text{رابطه ۲}$$

vq همان HFD است، p سطوح ارتفاع ژئوپتانسیل آتمسفر و Q_{vi} مجموع قائم شار رطوبت است. بنابراین، برای محاسبه واقعی شار رطوبت و همچنین محاسبه مجموع قائم واگرایی افقی شار رطوبت در مقطع عمودی آتمسفر این محاسبات برای حد فاصل ترازهای ۹۲۵- ۱۰۰۰، ۸۵۰- ۷۰۰، ۶۰۰- ۵۰۰، ۷۰۰- ۶۰۰، ۵۰۰- ۴۰۰، ۴۰۰- ۳۰۰، ۳۰۰- ۲۰۰، ۲۰۰- ۱۰۰ و ۱۰۰- ۰ محاسبه شد.^۲

1. horizontal flux divergence

۲. اغلب در محاسبات مربوط به رطوبت آتمسفر، به دلیل سردبودن و در نتیجه ناچیزبودن مقدار رطوبت در ترازهای بالاتر از ۵۰۰ هکتوپاسکال، از میزان رطوبت در این ترازها چشم پوشی می‌شود. اما در این پژوهش با وجود ناچیزبودن میزان رطوبت در این سطوح ارتفاعی محاسبات برای ترازهای بالایی جو نیز انجام گرفته است.

| | | | |
|---|----------|--|---------|
| $Qv_2 = 1/g \cdot \int_{925}^{850} vq dp$ | رابطه ۴ | $Qv_1 = 1/g \cdot \int_{1000}^{925} vq dp$ | رابطه ۳ |
| $Qv_4 = 1/g \cdot \int_{700}^{600} vq dp$ | رابطه ۶ | $Qv_3 = 1/g \cdot \int_{850}^{700} vq dp$ | رابطه ۵ |
| $Qv_6 = 1/g \cdot \int_{500}^{400} vq dp$ | رابطه ۸ | $Qv_5 = 1/g \cdot \int_{600}^{500} vq dp$ | رابطه ۷ |
| $Qv_8 = 1/g \cdot \int_{300}^{200} vq dp$ | رابطه ۱۰ | $Qv_7 = 1/g \cdot \int_{400}^{300} vq dp$ | رابطه ۹ |

محاسبات بالا برای یک فاصله زمانی است. با توجه به اینکه داده‌های مورد استفاده در این تحقیق شش ساعته است، محاسبه نیز برای یک بازه زمانی شش ساعته انجام خواهد گرفت. اما، از سویی، چون بارش طی دوره یک یا چند روزه رخ می‌دهد و انتقال رطوبت به درون سامانه‌های بارشی هم چند روز قبل از شروع بارش می‌تواند انجام گیرد، محاسبات یادشده باید برای بازه زمانی چند روزه انجام گیرد؛ به طوری که این محاسبات را باید از یک یا چند روز قبل از بارش تا روز بارش انجام داد. بدین منظور، محاسبات برای هر مقطع قائم آتمسفر باید به صورت رابطه ۱۱ انجام گیرد.

$$Q_{vi} = \int_{t1}^{t2} \left(1/g \cdot \int_{p1}^{p2} vq dp \right) dt \quad \text{رابطه ۱۱}$$

t^1 زمان شروع محاسبه و t^2 زمان پایان محاسبه است. این محاسبه به معنی مجموع رطوبت در یک ناحیه مشخص در حد فاصل چند تراز آتمسفری مشخص و یک دوره زمانی معلوم است (کریمی، ۱۳۸۶: ۴۳). در ادامه، با استفاده از داده‌های برداشت شده از محاسبات مربوط به شار رطوبت، نیم‌رخ قائم شار رطوبت آتمسفر نیز برای تجزیه و تحلیل ترسیم شد. در پایان نیز می‌توان مجموع همگرایی در ترازهایی با شار همگرا و همچنین مجموع واگرایی در ترازهایی با شار واگرا در برش قائم آتمسفر یک منطقه را محاسبه کرد؛ به طوری که تفاضل این دو در صورت مثبت بودن صرف بارش یا افزایش رطوبت مطلق منطقه در آن بازه زمانی مشخص شده است و در صورت منفی بودن نیز بیانگر تبخیر از سطوح آبی یا کاهش رطوبت مطلق آتمسفر منطقه است که به سایر نواحی منتقل شده است.

یافته‌های تحقیق

پس از انجام دادن محاسبات همگرایی و واگرایی شار رطوبت برای حد فاصل هر یک از ترازهای جوی، مشخص شد که در منطقه، در بازه زمانی روز قبل از بارش و روز بارش، در سطوح پایین آتمسفر همگرایی شار رطوبت و در سطوح میانی و بالایی آتمسفر واگرایی شار رطوبت حاکم بوده است. بنابراین، ترازهای آتمسفر به دو لایه، سطوح زیرین (ترازهای ۹۲۵ - ۸۵۰، ۹۲۵ - ۷۰۰ و ۷۰۰ - ۶۰۰) و بالایی (ترازهای ۶۰۰ - ۵۰۰، ۵۰۰ - ۴۰۰، ۴۰۰ - ۳۰۰ و ۳۰۰ - ۲۰۰) تقسیم شد و مجموع همگرایی و واگرایی شار رطوبت سطوح هر یک از این دو لایه جو محاسبه و ترسیم شد.

لایهٔ زیرین جو

در شکل ۱ الف، آرایش سینوپتیکی تراز ۱۰۰۰ هکتوپاسکال الگوی ۱ آورده شده است. در این الگو، زبانه‌ای از کم‌فشار گنگ نیمهٔ جنوبی ایران و از جمله جنوب شرق ایران را در بر گرفته است و منطقه تحت نفوذ پُرفشار آزور در این تراز به شمال افریقا و حوضهٔ دریای مدیترانه محدود شده است. اما، در تراز ۸۵۰ هکتوپاسکال کم‌فشار گنگ به طور آشکارتری هسته‌ای از کمینهٔ ارتفاع ژئوپتانسیل خود را بر روی جنوب شرق ایران گسترش داده و اثر چندانی بر سایر مناطق جنوبی ایران ندارد.^۱ این شکل مجموع همگرایی/واگرایی شار رطوبت برای سطوح ارتفاعی ۹۲۵ - ۸۵۰، ۹۲۵ - ۷۰۰ و ۸۵۰ هکتوپاسکال برای روز قبل از بارش و روز بارش را نیز نشان می‌دهد. در این الگوی سینوپتیکی، هسته‌ای از همگرایی شار رطوبت در جنوب شرق ایران قرار دارد که پیوسته رطوبت را از مناطق اطراف دریافت می‌کند. از سوی دیگر، سه هستهٔ واگرایی شار رطوبت در پهنه‌های آبی منطقه شکل گرفته که رطوبت را از این پهنه‌های آبی به مناطق اطراف و از جمله به درون مرکز همگرایی شکل گرفته در جنوب شرق ایران تزریق می‌کنند. مهم‌ترین هستهٔ واگرایی شار رطوبت بر روی شمال دریای عرب قرار دارد که هم وسعت بیشتر هم قدرت بیشتری نسبت به دو هستهٔ دیگر دارد؛ به طوری که بیشترین میزان رطوبت را به هستهٔ همگرایی شکل گرفته در جنوب شرق ایران می‌فرستد. دو هستهٔ دیگر واگرایی شار رطوبت یکی بر روی غرب دریای عرب و دیگری بر روی خلیج فارس شکل گرفته است. هستهٔ واگرایی غرب دریای عرب رطوبت را به حاشیهٔ شرقی شبه‌جزیره عربستان و کشور عمان منتقل می‌کند که بخشی از آن از همین مسیر به جنوب شرق ایران نیز تزریق می‌شود. اما، نقش خلیج فارس در انتقال رطوبت به نواحی اطراف به مراتب کمتر از دو مرکز واگرایی یادشده دیگر است؛ به طوری که هسته‌ای ضعیف از واگرایی شار رطوبت بر روی خلیج فارس قرار گرفته است و به دلیل وجود ارتفاعات مرتفع زاگرس جنوبی و میانی توان انتقال رطوبت فراوان به درون فلات ایران را ندارد. از آنجا که بیشترین مقدار رطوبت و انتقال رطوبت در سطوح زیرین آتمسفر صورت می‌گیرد، رشتہ‌کوه زاگرس شار رطوبت در لایه‌های زیرین آتمسفر از خلیج فارس را محدود می‌کند و این مرکز در تأمین رطوبت جنوب شرق ایران اهمیت کمتری دارد و شمال دریای عرب مهم‌ترین تأمین‌کننده رطوبت بارش‌های تابستانه جنوب شرق ایران در این الگو است.

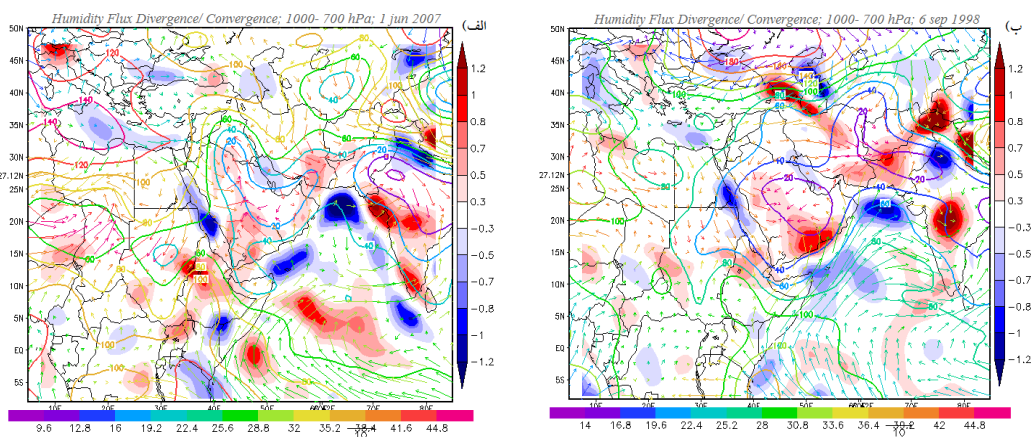
در الگوی ۲ زبانهٔ کم‌فشار گنگ بیشتر منطقه را در بر گرفته و هسته‌ای از کمینهٔ فشار آن بر روی شبه‌جزیره عربستان و هسته‌ای دیگر بر روی شرق ایران قرار گرفته است (شکل ۱ ب). اما در تراز ۸۵۰ هکتوپاسکال مرکز اصلی این زبانهٔ کم‌فشار بر روی شرق و جنوب شرق ایران قرار دارد. بررسی نقشهٔ مراکز واگرایی و همگرایی شار رطوبت لایه زیرین آتمسفر (شکل ۱ ب) همچنان هسته‌ای از همگرایی شار رطوبت شکل گرفته بر روی جنوب شرق ایران را نمایش می‌دهد که بیانگر ورود رطوبت از مناطق اطراف به جنوب شرق ایران است. در این الگو نیز سه هستهٔ واگرایی شار رطوبت بر روی شمال دریای عرب، غرب دریای عرب، و خلیج فارس شکل گرفته است؛ این سه هسته رطوبت را به نواحی اطراف و از جمله جنوب شرق ایران تزریق می‌کنند. در این الگو از قدرت مراکز واگرایی شار رطوبت، به ویژه خلیج

۱. به علت تعداد زیاد نقشه‌ها، از آوردن نقشه‌های ارتفاع ژئوپتانسیل تراز ۸۵۰ هکتوپاسکال خودداری و فقط به آرایش سینوپتیکی مراکز فشار اشاره شد.

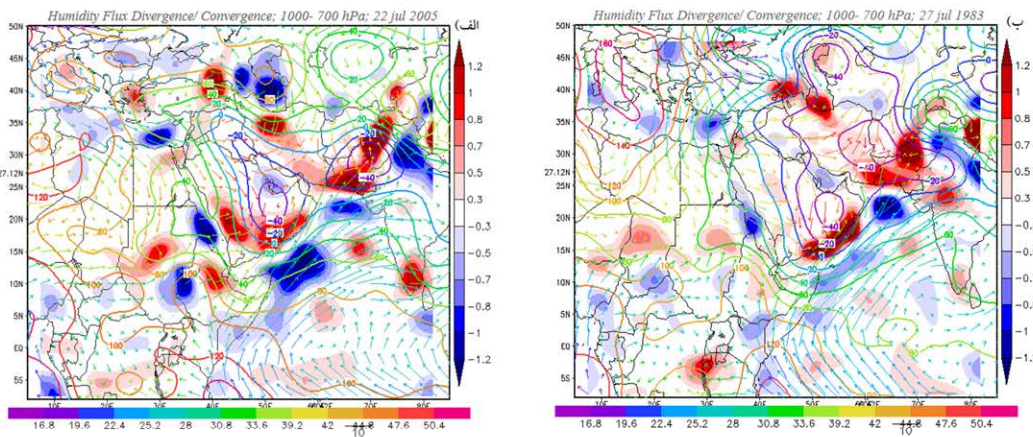
فارس، قدری کاسته شده، اما همچنان شمال دریای عرب مهم‌ترین تأمین‌کننده رطوبت بارش‌های تابستانه جنوب شرق ایران است.

در الگوهای ۳ و ۴ (شکل ۲) نیز زبانه کم‌شارگنگ در تراز ۱۰۰۰ ه.پ بر روی منطقه نفوذ کرده و دو مرکز کمینه فشار آن یکی بر روی شبکه‌جیره عربستان و دیگری بر روی پاکستان قرار گرفته است که جنوب و جنوب شرق ایران را نیز در بر گرفته‌اند. در تراز ۸۵۰ هکتوپاسکال مرکز کمینه شبکه‌جیره عربستان ماهیت خود را از دست داده، اما هسته شکل گرفته بر روی پاکستان ماهیت خود را حفظ کرده و جنوب شرق ایران را نیز تحت تأثیر قرار داده و در الگوی ۴ نفوذ آن بر ایران بسیار بیشتر بوده است. در این دو الگو نیز هسته‌ای از همگرایی شار رطوبت جنوب شرق ایران را فراگرفته و سبب تجمع و دریافت رطوبت از نواحی اطراف به این منطقه می‌شود. سه هسته واگرایی شار رطوبت در شمال دریای عرب، غرب دریای عرب، و خلیج فارس نیز انتقال رطوبت به نواحی اطراف را انجام می‌دهند. فقط در الگوی ۴ از قدرت هسته واگرایی شار رطوبت در شمال دریای عرب نسبت به هسته غرب دریای عرب کاسته شده است. این موضوع به قدرت‌گرفتن هسته غرب دریای عرب مربوط می‌شود، زیرا بیشتر رطوبت خود را به درون هسته شمال دریای عرب می‌ریزد و از آنجا نیز این رطوبت به جنوب شرق ایران، پاکستان و هند فرستاده می‌شود.

بنابراین، جبران بخشی از واگرایی شار رطوبت در شمال دریای عرب به وسیله تزریق رطوبت از هسته غرب دریای عرب سبب شده تا هسته شمال دریای عرب قدرتی به مراتب کمتر از الگوهای دیگر را به نمایش بگذارد و می‌توان تفاوت این الگو با سایر الگوها را تنها قدرتمندترشدن هسته واگرای غرب دریای عرب دانست و نه کاهش قدرت هسته واگرای شمال دریای عرب. مانند سایر الگوها، خلیج فارس نیز در شار رطوبت نواحی اطراف و از جمله جنوب شرق ایران نقش ضعیفی ایفا می‌کند.



شکل ۱. ارتفاع ژئوپتانسیل (m) و وزش دمایی ($^{\circ}\text{C}$) تراز ۱۰۰۰ ه.پ؛ هسته‌های همگرایی و واگرایی شار رطوبت ($10^{-5} \text{ g} \cdot \text{kg}^{-1} \cdot \text{s}^{-1}$) مجموع ترازهای ۹۲۵ - ۱۰۰۰، ۸۵۰ - ۹۲۵، و ۷۰۰ - ۸۵۰ ه.پ؛ مجموع یک روز قبل از بارش و روز بارش؛ شکل ۱ الف. الگوی ۱ زوئن ۲۰۰۷؛ شکل ۱ ب. الگوی ۲، ۶ سپتامبر ۱۹۹۸

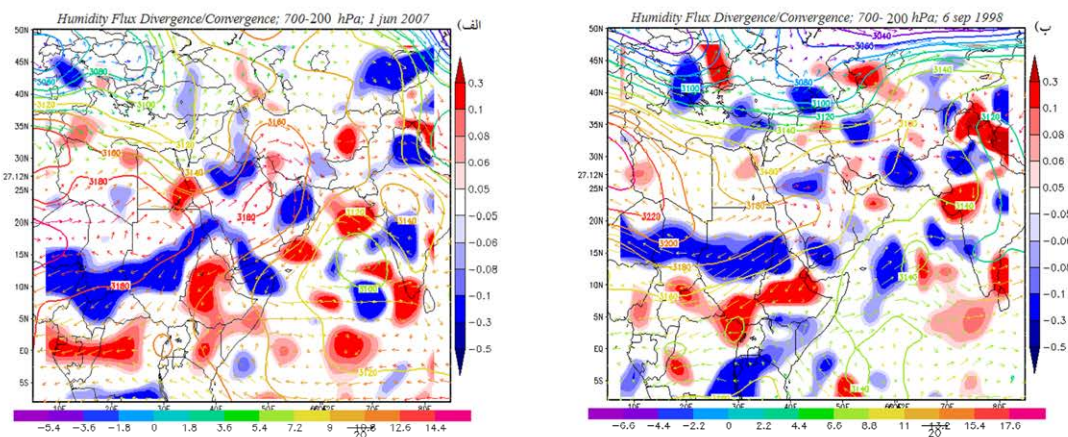


شکل ۲. ارتفاع ژئوپتانسیل (m) و وزش دمایی ($^{\circ}\text{C}$) تراز ۱۰۰۰ ه.پ؛ هسته‌های همگرایی و واگرایی شار رطوبت $10^{-5} \text{ g.kg}^{-1}.\text{s}^{-1}$ ^۱ مجموع ترازهای ۹۲۵ - ۱۰۰۰، ۸۵۰ - ۷۰۰، ۹۲۵ و ۸۵۰ ه.پ؛ مجموع یک روز قبل از بارش و روز بارش؛ روز ۲۷ ژولای ۱۹۸۳؛ شکل ۲ ب. الگوی ۳، ۲۲ ژولای ۲۰۰۵؛ شکل ۲ ب. الگوی ۴، ۲۷ ژولای ۱۹۸۳

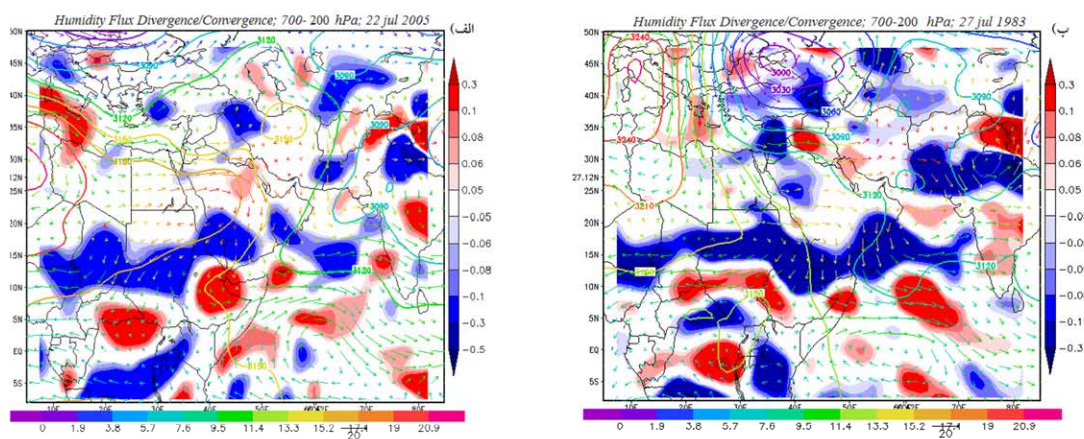
لایه بالایی جو

شکل ۳ الف ارتفاع ژئوپتانسیل و بردارهای باد تراز ۷۰۰ هکتوپاسکال و مجموع همگرایی/واگرایی شار رطوبت ترازهای ۲۰۰ - ۳۰۰، ۳۰۰ - ۴۰۰، ۴۰۰ - ۵۰۰، ۵۰۰ - ۶۰۰ و ۶۰۰ - ۷۰۰ ه.پ الگوی ۱ را نشان می‌دهد. در این تراز، زبانه پُرفشار آزور فلات ایران را تحت تأثیر قرار داده است، اما نواحی شرقی کمتر از آن متأثرند. مرکز اصلی کم‌فشار گنج در این تراز بر روی جنوب دریای عرب گرفته و کم‌فشار واقع در ترازهای زیرین نواحی شرقی ایران فقط توانسته قدری پُرفشار آزور را از این منطقه در تراز ۷۰۰ ه.پ دور کند که بالطبع به سبب فعال نبودن شرایط نزول هوای این پُرفشار در جنوب شرق ایران شرایط صعود و ایجاد بارش در منطقه فراهم شده است. هسته‌ای ضعیف از واگرایی شار رطوبت از تراز ۷۰۰ ه.پ تا لایه‌های بالایی آتمسفر در این الگو بر روی جنوب شرق ایران شکل گرفته و سه هسته و اگرای لایه زیرین آتمسفر در شمال و غرب دریای عرب و خلیج فارس جای خود را به مراکزی از همگرایی شار رطوبت داده‌اند. بردارهای باد نیز، که در ترازهای زیرین در منطقه مورد مطالعه حالت همگرا داشتند، در این تراز (۷۰۰ ه.پ) حالت واگرا یافته‌اند.

در الگوهای ۲، ۳، و ۴ (شکل ۳ ب و ۴) نیز هسته‌هایی از واگرایی شار رطوبت با شدت و ضعف بر روی جنوب شرق ایران شکل گرفته‌اند که بیانگر قطع شدن انتقال رطوبت به آتمسفر منطقه از تراز ۷۰۰ هکتوپاسکال به بالاست.



شکل ۳. ارتفاع ژئوپتانسیل (m) و وزش دمایی ($^{\circ}\text{C}$) تراز ۷۰۰ پ.ب؛ هسته‌های همگرایی و واگرایی شار رطوبت ($10^{-5}\text{g}.\text{kg}^{-1}.\text{s}^{-1}$) مجموع ترازهای ۶۰۰ - ۷۰۰، ۵۰۰ - ۶۰۰، ۴۰۰ - ۵۰۰، ۳۰۰ - ۴۰۰، و ۲۰۰ - ۳۰۰ پ؛ یک روز قبل از بارش و روز بارش؛
شکل ۳ الف. الگوی ۱ زوئن ۲۰۰۷؛ شکل ۳ ب. الگوی ۲ سپتامبر ۱۹۹۸

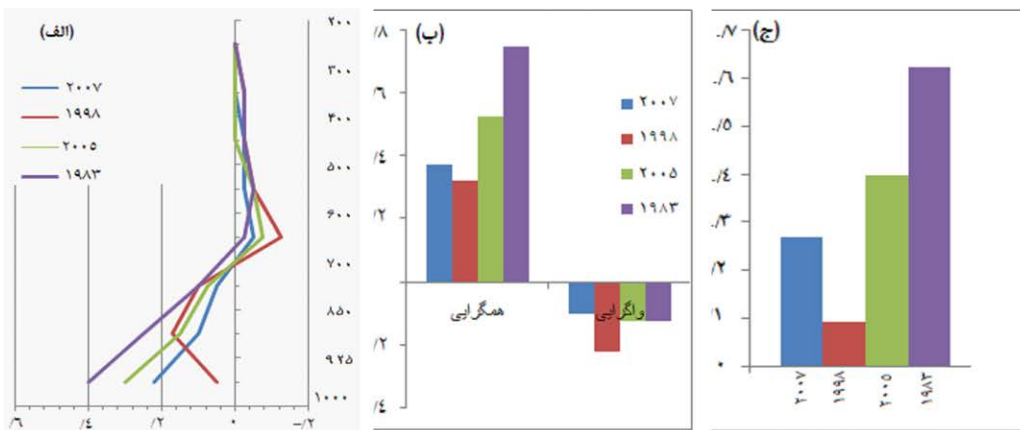


شکل ۴. ارتفاع ژئوپتانسیل (m) و وزش دمایی ($^{\circ}\text{C}$) تراز ۷۰۰ پ.ب؛ هسته‌های همگرایی و واگرایی شار رطوبت ($10^{-5}\text{g}.\text{kg}^{-1}.\text{s}^{-1}$) مجموع ترازهای ۶۰۰ - ۷۰۰، ۵۰۰ - ۶۰۰، ۴۰۰ - ۵۰۰، ۳۰۰ - ۴۰۰، و ۲۰۰ - ۳۰۰ پ؛ یک روز قبل از بارش و روز بارش؛
شکل ۴ الف. الگوی ۳، ۲۲ زولای ۲۰۰۵؛ شکل ۴ ب. الگوی ۴، ۲۷ زولای ۱۹۸۳

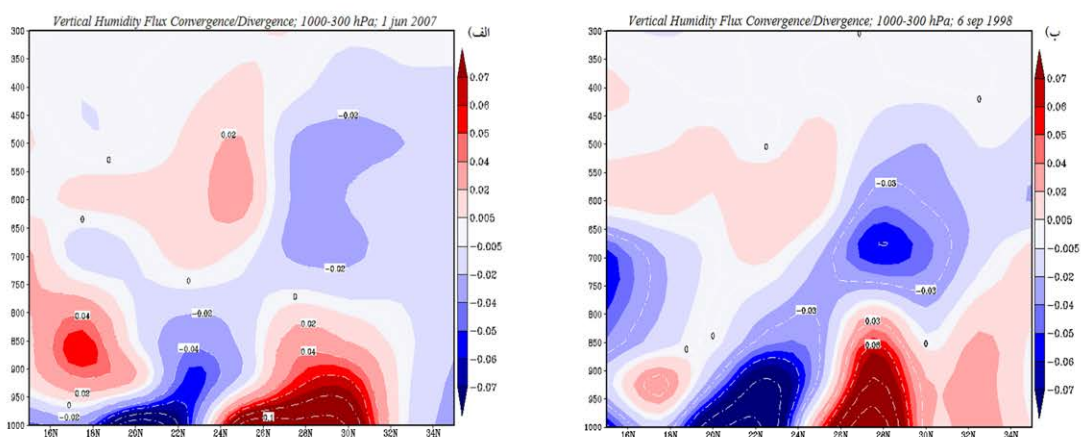
بر روی پهنه‌های آبی شمال دریای عرب و خلیج فارس نیز اغلب هسته‌ای ضعیف از همگرایی شار رطوبت شکل گرفته، اما غرب دریای عرب واگرایی شار رطوبت خود را حفظ کرده که این رطوبت به داخل مناطق استوایی تزریق می‌شود و تأثیری در منطقه مطالعه این تحقیق ندارد. در این الگوهای زبانه پُرسشار آزور نیز در تراز ۷۰۰ هکتوپاسکال تا حدودی از جنوب شرق ایران عقب‌نشینی و شرایط صعود هوای لایه‌های زیرین را فراهم کرده است.

نیمرخ قائم جو

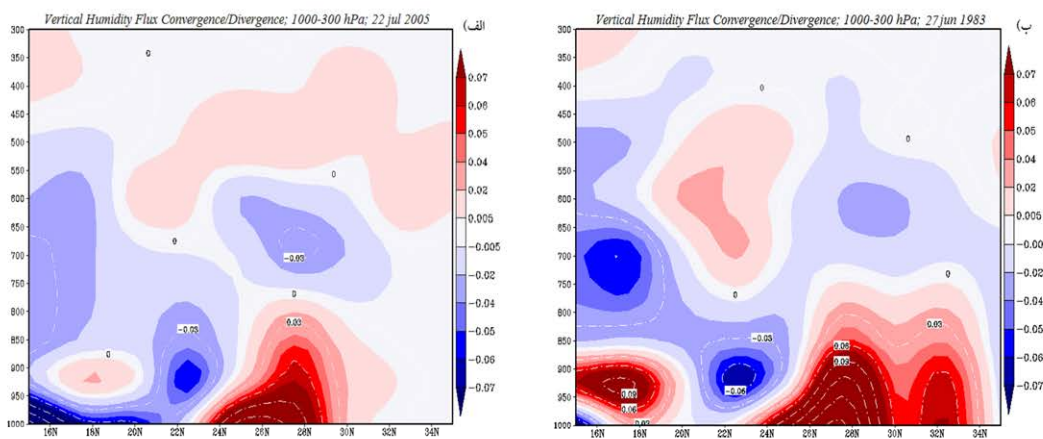
در ادامه این پژوهش، به بررسی نیمرخ قائم آتمسفر منطقه با مرکزیت ایستگاه سینوپتیک ایرانشهر از نظر وضعیت شار رطوبت اقدام شد. میزان همگرایی یا واگرایی شار رطوبت از تراز ۱۰۰۰ هکتوپاسکال تا تراز ۲۰۰ ه.پ برای الگوهای چهارگانه سینوپتیکی بارش‌های جنوب شرق ایران در بازه زمانی روز قبل از بارش و روز بارش محاسبه شد و به صورت نمودار آورده شد (شکل ۵). همان‌گونه که در این نمودار (شکل ۵ الف) آشکار است، در آتمسفر ایستگاه مذکور از سطح زمین تا تراز ۷۵۰ هکتوپاسکال همگرایی شار رطوبت رخ داده است و در همه الگوها (به استثنای الگوی ۲) این همگرایی با افزایش ارتفاع در آتمسفر کاهش می‌یابد. بیشترین همگرایی شار رطوبت در حد فاصل تراز ۱۰۰۰ ه.پ تا ۹۲۵ ه.پ صورت گرفته است. از طرف دیگر، از تراز ۷۰۰ ه.پ تا ترازهای بالای آتمسفر واگرایی شار رطوبت رخ داده و بیشترین واگرایی شار رطوبت نیز در پایین‌ترین تراز این مقطع از آتمسفر، یعنی تراز ۷۰۰ تا ۶۰۰ ه.پ، رخ داده است. از تراز ۵۰۰ ه.پ به بالا نیز، به دلیل سرمای آتمسفر و ناچیزبودن ظرفیت رطوبتی هوا، شار رطوبت به صفر نزدیک شده و در تراز ۳۰۰ ه.پ عملاً در همه الگوها شار رطوبت صفر شده است. بنابراین، آتمسفر روزهای بارشی تابستانه جنوب شرق ایران را می‌توان به دو مقطع عمودی تقسیم کرد؛ به طوری که در لایه‌های پایین در آن همگرایی شار رطوبت صورت می‌گیرد و در لایه‌های بالاتر واگرایی شار رطوبت رخ می‌دهد و از تراز ۵۰۰ ه.پ به بالا نیز آتمسفر منطقه در شار رطوبت نقشی ناچیز ایفا می‌کند. تفاضل بین شار همگرا و شار واگرای یک منطقه نیز بیانگر میزان ورود یا خروج رطوبت به یک منطقه است؛ این فاکتور را می‌توان با کسر کردن میزان واگرایی شار رطوبت ترازهای میانی و بالای آتمسفر (۳۰۰ - ۷۰۰ ه.پ) از میزان شار همگراشده رطوبت در ترازهای پایین آتمسفر (۷۵۰ - ۱۰۰۰ ه.پ) محاسبه کرد. این میزان در صورت مشتبه‌بودن بیانگر میزان رطوبت خالصی است که به منطقه وارد شده و می‌تواند صرف بارش و یا افزایش رطوبت مطلق آتمسفر شود. این محاسبات نیز برای منطقه مورد مطالعه با مرکزیت ایستگاه سینوپتیک ایرانشهر صورت گرفته است؛ شکل ۵ ب و ج آن را نشان می‌دهد. شکل ۵ ب مجموع واگرایی شار رطوبت لایه بالای آتمسفر و مجموع همگرایی شار رطوبت لایه پایینی آتمسفر را برای الگوهای چهارگانه نمایش می‌دهد. شکل ۵ ج نیز تفاضل میزان رطوبت همگراشده و واگراشده را نشان می‌دهد. در این نمودار در همه الگوها میزان شار همگراشده در لایه زیرین آتمسفر بیشتر از میزان شار رطوبت واگراشده در لایه بالای آتمسفر است. این موضوع بیانگر تجمع رطوبت و پتانسیل آتمسفر منطقه برای بارش از نظر رطوبتی است و باید با عامل صعود هوا نیز همراهی شود. باید یادآور شد که همه این بیلان خالص شار رطوبت صرف بارش نمی‌شود، زیرا عامل صعود در هر سامانه بارشی متفاوت است و بیلان خالص رطوبت می‌تواند صرف بارش یا افزایش رطوبت مطلق منطقه شود. شکل ۶ و ۷ نیز شار رطوبت منطقه از عرض $^{\circ}N 35$ - $^{\circ}E 15$ بر روی نصف‌النهار و از تراز ۱۰۰۰ تا ۳۰۰ ه.پ برای الگوهای چهارگانه سینوپتیکی مورد مطالعه را نشان می‌دهد. در این شکل‌ها نیز در همه الگوها هسته اصلی همگرایی شار رطوبت بر روی عرض‌های $^{\circ}N 30$ - $^{\circ}E 25$ (جنوب شرق ایران) قرار گرفته و گاهی تا مناطق شمالی‌تر نیز نفوذ کرده است. در این نقشه‌ها نیز به خوبی می‌توان مشاهده کرد که بیشترین شار همگرایی در لایه‌های زیرین آتمسفر منطقه صورت گرفته و این همگرایی حداقل تراز ۷۵۰ ه.پ شکل گرفته است. از تراز ۷۰۰ ه.پ به بالا نیز هسته‌ای از واگرایی شار رطوبت بر روی منطقه قرار گرفته است.



شکل ۵ الف. نیمرخ قائم شار رطوبت ($10^5 \text{ g} \cdot \text{kg}^{-1} \cdot \text{s}^{-1}$) آتمسفر منطقه با مرکزیت ایستگاه سینوپتیک ایرانشهر؛ شکل ۵ ب. مجموع شار رطوبت ($10^5 \text{ g} \cdot \text{kg}^{-1} \cdot \text{s}^{-1}$) لایه پایینی آتمسفر (همگرایی؛ ۷۵۰ - ۱۰۰۰ همگرایی و لایه بالایی آتمسفر (واگرایی؛ ۲۰۰ - ۲۴۰ همگرایی؛ شکل ۵ ج. تفاضل مجموع شار واگرایشده رطوبت در لایه بالایی آتمسفر از مجموع شار همگرایشده در لایه پایینی آتمسفر ($10^5 \text{ g} \cdot \text{kg}^{-1} \cdot \text{s}^{-1}$). در بازه زمانی روز قبل از بارش و روز بارش، الگوهای چهارگانه سینوپتیکی



شکل ۶. نیمرخ قائم همگرایی / واگرایی شار رطوبت ($10^5 \text{ g} \cdot \text{kg}^{-1} \cdot \text{s}^{-1}$) یک روز قبل از بارش؛ تراز ۳۰۰ همگرایی / واگرایی شکل ۶ الف. الگوی ۱، ۱ ژوئن ۲۰۰۷؛ شکل ۶ ب. الگوی ۲، ۶ سپتامبر ۱۹۹۸



شکل ۷. نیمrix قائم همگرایی/واگرایی شار رطوبت ($10^{-5} \text{ g.kg}^{-1} \cdot \text{s}^{-1}$) یک روز قبل از بارش؛ تراز ۳۰۰ – ۱۰۰۰ پ.، عرض جغرافیایی ۱۵°N – ۳۵°N بر روی نصف‌النهار E° : شکل ۷ الف. الگوی ۲۲، ۳ ۲۰۰۵؛ شکل ۷ ب. الگوی ۲۷، ۴ ۱۹۸۳

نتیجه‌گیری

در این پژوهش با مطالعه بارش‌های تابستانه جنوب شرق ایران طی دوره ۱۹۸۲ – ۲۰۱۰ و دسته‌بندی این روزها در چهار الگو و مطالعه روزهای نماینده هر الگوی سینوپتیکی مشخص شد زبانه‌ای از کم‌فشار گنج در ترازهای ۱۰۰۰ و ۸۵۰ پ.ب در فلات ایران و شبیه‌جزیره عربستان نفوذ کرده است، اما در تراز ۷۰۰ پ.ب اثر مشخصی از این کم‌فشار در منطقه مورد مطالعه قابل مشاهده نیست و کم‌فشار سطح زیرین آتمسفر فقط توانسته سلطه زبانه پُرفشار آزور در تراز ۷۰۰ پ.ب را در منطقه کاهش دهد و شرایط صعود و شکل‌گیری بارش‌های منطقه را فراهم آورد. نتایج حاصل از این پژوهش با یافته‌های کریمی (۱۳۸۶: ۱۵۷) منطبق است. علاوه بر آن، به طور مشخص شمال دریای عرب را مهم‌ترین منبع تأمین رطوبت منطقه در این سامانه‌های بارشی معرفی می‌کند؛ به طوری که در همه الگوها هسته‌ای از همگرایی شار رطوبت از سطح زمین تا تراز ۷۵۰ پ.ب در جنوب شرق ایران شکل کرفته و سه هسته واگرایی شار رطوبت بر روی شمال دریای عرب، غرب دریای عرب، و خلیج فارس انتقال رطوبت به نواحی اطراف را انجام می‌دهند؛ از این میان، هسته واگرایی شار رطوبت شمال دریای عرب و در مرتبه بعدی غرب دریای عرب مهم‌ترین منبع تأمین رطوبت منطقه‌اند و هسته واگرایی خلیج فارس کمترین نقش را ایفا می‌کند؛ این موضوع تا حدود زیادی ناشی از وجود ارتفاعات رشته‌کوه زاگرس میانی و جنوبی است که انتقال رطوبت از خلیج فارس به درون فلات ایران را محدود می‌کند. در مرکز و شرق دریای عرب هسته‌های مشخصی از واگرایی شار رطوبت وجود ندارد. از طرف دیگر، با توجه به جهت وزش بادها در این مناطق، که غربی‌اند و به درون شبکه قاره هند می‌وزند، این پهننه‌های آبی اثر آشکاری در جنوب شرق ایران ندارند. بر روی دریای عمان نیز هسته‌ای از واگرایی شار رطوبت برای انتقال رطوبت به مناطق اطراف وجود ندارد. از سوی دیگر، حرکت پادساعت‌گرد هوا در دامنه‌های جنوبی رشته‌کوه هیمالیا در ترازهای زیرین آتمسفر فقط در الگوی ۴ (شکل ۲ ب) و به طوری ضعیفتر در الگوی ۳ (شکل ۲ الف) مشاهده شد؛ به دلیل فاصله زیاد از جنوب شرق ایران و شکل‌گیری مرکزی قوی از همگرایی شار رطوبت در شمال و مرکز پاکستان، چرخش یادشده در دامنه جنوبی هیمالیا به درون مرکز همگرایی

شكل‌گرفته در مرکز پاکستان می‌ریزد. بنابراین، عملاً چنین سازوکاری در تأمین رطوبت بارش‌های جنوب شرق ایران در سامانه‌های مورد مطالعه نمی‌تواند نقشی داشته باشد. آتمسفر منطقه در همه الگوها را می‌توان به دو بخش زیرین (ترازهای ۷۵۰ – ۱۰۰۰ م.پ) و بالایی (۳۰۰ – ۷۰۰ م.پ) تقسیم کرد؛ در لایه زیرین آتمسفر همگرایی شار رطوبت و در لایه بالایی واگرایی شار رطوبت در منطقه صورت می‌گیرد. سرانجام، باید به این موضوع نیز اشاره کرد که طوفان‌های حاره‌ای نیز بخشی از سیستم بارشی مونسون تابستانه هند به شمار می‌روند و در موارد نادری چون طوفان گونو (۷ ژوئن ۲۰۰۷) می‌توانند این منطقه از ایران را متأثر کنند؛ مطالعات بیشتر در این زمینه به درک بهتری از سازوکار بارشی منطقه منجر می‌شود.

منابع

- تقی‌زاده، حبیب (۱۳۶۶). تحلیلی بر بارندگی امرداد سال ۱۳۶۶، رشد زمین‌شناسی، ۱۰: ۲۶ – ۳۷.
- رضایی‌بنفسه، مجید؛ ساری‌صرف، بهروز؛ جعفری‌شندي، فاطمه و حسین‌علی‌پور، فرشته (۱۳۹۲). تحلیل منابع رطوبتی مؤثر در بارش‌های سنگین شمال‌غرب ایران، طرح پژوهشی، دانشگاه تبریز، تبریز، ایران.
- علیجانی، بهلول؛ (۱۳۷۴). آب و هوای ایران، انتشارات پیام نور، تهران، ایران.
- علیجانی، بهلول؛ خسروی، محمود و اسماعیل‌نژاد، مرتضی (۱۳۸۹). تحلیل همدید بارش سنگین ششم ژانویه ۲۰۰۸ در جنوب شرق ایران، پژوهش‌های اقلیم‌شناسی، ۳: ۱ - ۱۲.
- علیجانی، بهلول؛ جعفری‌پور، زین‌العابدین؛ اکبری‌بیدختی، علی و مفیدی، عباس (۱۳۹۰). الگوهای گردش بارش‌های تابستانه جنوب شرق ایران در ماه ژوئیه ۱۹۹۴، نشریه علوم جغرافیایی، ۷(۱): ۲۰۵ – ۲۲۷.
- کریمی، مصطفی (۱۳۸۶). تحلیل منابع رطوبت بارش‌های ایران، رساله دکتری، دانشگاه تربیت مدرس.
- نجارسلیقه، محمد (۱۳۸۰). الگوهای سینوپتیکی بارش‌های تابستانه جنوب شرق ایران، فصل نامه تحقیقات جغرافیایی، ۶۲: ۱۱۴ – ۱۲۵.
- نجارسلیقه، محمد (۱۳۸۵). مکانیزم‌های بارش در جنوب شرق کشور، پژوهش‌های جغرافیایی، ۱: ۵۵ - ۱۳.
- Alijani, B. (1995). Climatology of Iran, Payamnoor Publication, Tehran, Iran.
- Alijani, B.; Jaefarpour, Z.; Bidokhti, A.A. and Mofidi, A. (2011). Circulation patterns of summer precipitation in Iran's southeast in July 1994, *Journal of Geographic Sciences*, 10: 205-227 (**In Persian**).
- Alijani, B.; Khosravi, M. and Esmaeilnejhad, M. (2010). Synoptical Analysis of heavy rainfall, sixth of January 2008 in Iran southeast, *Journal of Climate Research*, 3, 4: 1-12 (**In Persian**).
- Flohn, H. (1960). Recent investigations on the mechanism of the summer Monsoon of Southern and Eastern Asia. Proc. Symp. Monsoons of the World, New Delhi, Hind Union Press, 75-88.
- Godbole, R. (1973). The composite structure of the monsoon depression, *Tellus*, 29: 25-40.
- Goswami, B.N.; Ajayamohan, R.S.; Xavier, P.K. and Sengupta, D. (2003). Clustering of synoptic activity by Indian summer monsoon intraseasonal Oscillations, *Geophysical Research Letters*, 30: 1-13. doi: 10.1029/2002GL016734.
- Hahn, D.G. and Manabe, S. (1975). The Role of Mountains in the South Asia Monsoon Circulation, *J. of Atmospheric Sci*, 32: 1515-1541.
- Hurley, John V. and Boos W.R. (2015). A global climatology of monsoon low-pressure systems, *Q. J. R. Meteorol. Soc*, 141: 1049-1064. doi:10.1002/qj.2447.
- <http://www.esrl.noaa.gov>.
- <http://www.tropmet.res.in>.

- Karimi, M. (2007). Analysis of the Moisture Supplying Sources of Iran's Precipitation, PhD Thesis on Climatology, Tarbiat Modares University (**In Persian**).
- Krishnamurthy, V. and Ajayamohan, R, S., (2008). The Composite Structure of Monsoon Low Pressure Systems, COLA Technical Report 270, November 2008.
- Mooley, D.A. (1973). Some aspects of Indian monsoon depressions and the associated rainfall, *Mon. Wea. Rev.*, 101: 271-280. doi: 10.1175/1520-493(1973)101<0271: SAOIMD>2.3.CO;2.
- Najarsalighe, M. (2001). Synoptic patterns of summer precipitation of south east Iran, *Quarterly Geographical Research*, 62: 114-125 (**In Persian**).
- Najarsalighe, M. (2006). Mechanisms of precipitation in the southeast of the country, *Geographical researches*, 55: 1-13 (**In Persian**).
- Panchawagh N.V. and Vaidya, S.S. (2011). Link between break/active phases of summer monsoon over India and China, *Current Science*, 101(2): 194-201.
- Raghavan, S. and Rajesh, S. (2003). Trends in tropical cyclone impact: A study in Andhra Pradesh, *India. Bull. Amer. Met. Soc.*, 84, 635-644. doi: 10.1175/BAMS-84-5-635.
- Ramaswamy, C. (1962). Breaks in the Indian summer monsoon as a phenomenon of interaction between the easterly and the subtropical westerly jet streams, *Tellus*, 14A: 337-349.
- Rangarajan, S. (1963). Thermal effects of the Tibetan Plateau during the Asia Monsoon Season, *Aust. Meteor. Mag.*, 42: 24-34.
- Rezaeibanafsheh, m.; Sarisaraf, B.; Jaefarishendi, F. and Hosseinalipour, F. (2013). *Analysis of effective water resources in Iran's northwest heavy precipitation*, Research project, Tabriz University, Tabriz, Iran (**In Persian**).
- Taghizadeh, H. (1987). Analysis of the August rainfall 1987, *Geological growth*, 10: 26-37 (**In Persian**).